

06:07:12

©1995

## ОБРАТНЫЙ ОБМЕН В ОТОЖЖЕННЫХ H : LiNbO<sub>3</sub> ВОЛНОВОДАХ

*Ю.Н.Коркишко, В.А.Федоров*

Оптические волноводы в кристаллах ниобата лития, изготавляемые методом протонного обмена [1], характеризуются низкими оптическими потерями и высокой стойкостью к оптическому пробою. Улучшение качества структур достигается путем постобменного отжига [2]. В результате значительно снижаются оптические потери и практически полностью восстанавливаются электрооптические [2] и нелинейные коэффициенты [3]. Это делает использование отожженных протонообменных волноводов (ОПОВ) в LiNbO<sub>3</sub> весьма привлекательным в устройствах интегральной оптики.

Однако профиль показателя преломления (ППП) в ОПОВ является асимметричным, что затрудняет согласование полей волноводных мод в планарном и волоконном световоде при ихстыковке. Очевидно, эту задачу можно решить путем формирования загубленных волноводов в ОПОВ в LiNbO<sub>3</sub>.

Ранее мы сообщали о возможности протекания обратного обмена в кристаллах LiNbO<sub>3</sub> в расплаве нитрата лития [4,5]. Позднее близкие результаты были получены авторами работ [6,7]. Отметим, что все опубликованные результаты касались только H : LiNbO<sub>3</sub> структур со ступенчатыми ППП, однако по вышеуказанным причинам именно отожженные волноводы с градиентными ППП являются наиболее привлекательными для интегральной оптики.

В данной работе показана возможность протекания обратного обмена в отожженных H : LiNbO<sub>3</sub> структурах для изготовления загубленных волноводов.

ППП по глубине определялись по спектрам эффективных показателей преломления (ЭПП) волноводных мод на длине волны  $\lambda = 663$  нм, используя алгоритм [8].

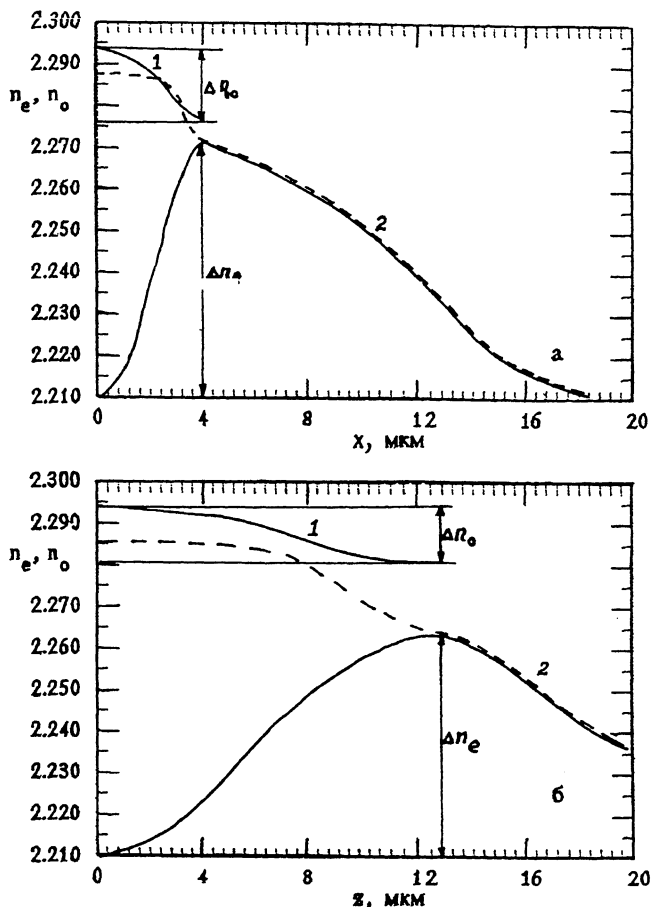
В экспериментах использовались пластины X- и Z-срезов LiNbO<sub>3</sub>. В качестве расплавов-источников протонного обмена применялись раствор KHSO<sub>4</sub> в глицерине, бензойная кислота и дигидрофосфат аммония (NH<sub>4</sub>H<sub>2</sub>PO<sub>4</sub>). Процесс обратного протонного обмена проводился в расплавах LiNO<sub>3</sub> (37.5 мол.%)–KNO<sub>3</sub> (44.5 мол.%)–NaNO<sub>3</sub>, а также чистого LiNO<sub>3</sub>.

Ранее сообщалось, что свойства ОПОВ в  $\text{LiNbO}_3$  существенно зависят от температуры отжига [9]. Это связано с температурным фазовым переходом вблизи  $350^\circ\text{C}$  [9]. Поэтому в работе исследовались  $\text{H}: \text{LiNbO}_3$  волноводы, отожженные при температурах  $T_a = 320^\circ\text{C}$  и  $T_a = 400^\circ\text{C}$ , когда образуются соответственно низкотемпературная  $\alpha^{LT}$  и высокотемпературная  $\alpha^{HT}$  фазы [9].

Первоначально формировались глубокие волноводы толщиной более 5 мкм путем длительного протонного обмена. После этого образцы отжигались при температурах  $T_a$  от 320 до  $400^\circ\text{C}$  вплоть до достижения приращения показателя преломления (ПП) на поверхности  $\Delta n_e = 0.070$ , что соответствует верхней границе обеих модификаций  $\alpha$ -фазы  $\text{H}_x\text{Li}_{1-x}\text{NbO}_3$  [9, 10]. Затем каждый образец разрезался на две части, одна часть помещалась в расплав  $\text{LiNO}_3-\text{KNO}_3-\text{NaNO}_3$  или чистого нитрата лития при температуре  $300^\circ\text{C}$  ("образец"), где проводился обратный обмен, а вторая отжигалась при той же температуре в течение точно такого же времени ("спутник"). После протекания обменной реакции  $\text{Li}^+ \rightarrow \text{H}^+$  поверхностная область обедняется протонами по сравнению с глубинной частью, что приводит к повышению ПП необыкновенного луча ( $e$ -луча) и к снижению ПП обычного ( $\alpha$ -луча) [11]. Поэтому после частичного обратного обмена  $\text{Li}^+ \rightarrow \text{H}^+$  поверхностная область может являться световодом для мод обычной поляризации.

Измерялись ЭПП мод обычной поляризации в "образце" и необыкновенной поляризации в "спутнике", и восстанавливались соответствующие ППП (рис. 1). Из них определялась поворотная точка последней моды  $\alpha$ -луча в "образце" и на этой же глубине из профиля в "спутнике" определялся ПП  $e$ -луча. Взаимозависимость этих величин представлена на рис. 2. Так как оба профиля достаточно градиентны, то представленные на рис. 2 зависимости отражают фундаментальную взаимосвязь между показателями преломления обычного и необыкновенного лучей в различных температурных модификациях  $\alpha$ -фазы  $\text{H}_x\text{Li}_{1-x}\text{NbO}_3$ .

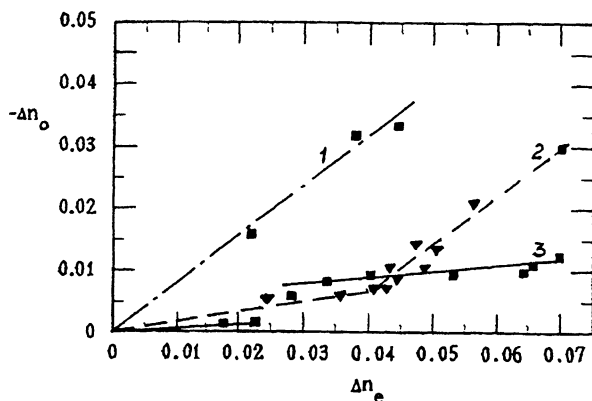
Из рис. 2 видно, что зависимость  $\Delta n_0$  от  $\Delta n_e$  для волноводов, отожженных при  $320-330^\circ\text{C}$  ( $\alpha^{LT}$ -фаза [9]) претерпевает разрыв вблизи  $\Delta n_e = 0.025$ , что указывает на существование новой  $\alpha_0$  фазы в области значений  $\Delta n_e$  менее  $330^\circ\text{C}$ . Наличие такой фазы представляется весьма вероятным, так как хорошо известно, что непосредственный протонный обмен при температурах  $150-250^\circ\text{C}$  (без дополнительного отжига) позволяет формировать волноводы только с  $\Delta n_e < 0.025$  или  $\Delta n_e > 0.08$  [12]. Волноводы с промежу-



**Рис. 1.** Профили показателя преломления  $n$ -(1) и  $n$ -(2) лучей в структурах, полученных обработкой отожженных  $\text{H}: \text{LiNbO}_3$  волноводов в расплаве  $\text{LiNO}_3-\text{KNO}_3-\text{NaNO}_3$ . Пунктирная линия — ППП  $e$ -луча в “спутнике”. а —  $X$ -срез, расплав бензойной кислоты,  $T = 200^\circ\text{C}$ ,  $t = 24$  ч; отжиг:  $T = 330^\circ\text{C}$ ,  $t = 100$  ч; обратный обмен:  $T = 300^\circ\text{C}$ ,  $t = 70$  ч. б —  $Z$ -срез, расплав  $\text{NH}_4\text{H}_2\text{PO}_4$ ,  $T = 220^\circ\text{C}$ ,  $t = 10$  ч; отжиг:  $T = 330^\circ\text{C}$ ,  $t = 80$  ч; обратный обмен:  $T = 300^\circ\text{C}$ ,  $t = 70$  ч.

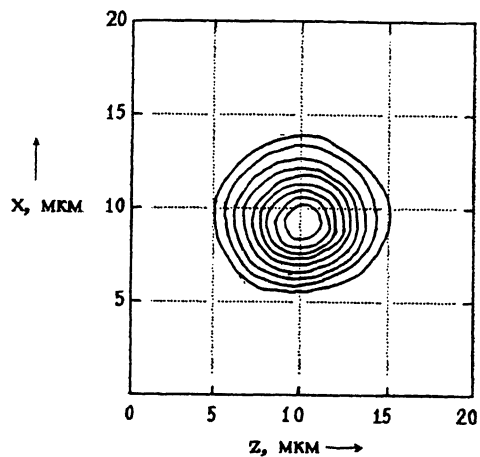
точными значениями  $\Delta n_e$  формируются только с использованием постобменного отжига. Вероятно, как раз значение  $\Delta n_0 = 0.025$  и соответствует межфазной границе.

Для структур, отожженных при  $400^\circ\text{C}$ , подобное поведение зависимости  $\Delta n_0$  от  $\Delta n_e$  не наблюдается (рис. 2). Существование только одной высокотемпературной  $\alpha^{\text{HT}}$ -фазы в области значений  $\Delta n_e = 0 \dots 0.07$  подтверждается и тем фактом, что при температуре  $400^\circ\text{C}$  непосредственным протонным обменом в расплаве  $\text{ZnSO}_4-\text{K}_2\text{SO}_4-\text{Na}_2\text{SO}_4-\text{KHSO}_4$



**Рис. 2.** Взаимозависимость приращений показателей преломления обыкновенного и необыкновенного лучей в отожженных  $\text{H:LiNbO}_3$  волноводах.

Температура отжига: 1 —  $T_a = 320^\circ\text{C}$ , 2 —  $T_a = 355^\circ\text{C}$ , 3 —  $T_a = 400^\circ\text{C}$ .  
 ■ — X-срез, ▼ — Z-срез  $\text{LiNbO}_3$ .



**Рис. 3.** Профиль распределения моды в канальном волноводе, изготовленном методом обратного обмена на X-срезе  $\text{LiNbO}_3$ . Каждая линия равной интенсивности отличается от предыдущей на 10%.

удается непрерывно изменять приращение ПП на поверхности волноводов путем изменения концентрации протонов [13]. Отметим, что зависимость  $\Delta n_0$  от  $\Delta n_e$  для  $\text{H:LiNbO}_3$  волноводов, отожженных при температуре  $355^\circ\text{C}$  (промежуточное состояние), имеет излом вблизи  $\Delta n_e = 0.04$ .

Формировались и исследовались также канальные обратнообменные волноводы. Канал шириной 8 мкм формировался методом фотолитографии по предварительно нанесенной на поверхность ниобата лития пленке титана. Далее образец помещался в раствор гидросульфата калия в глицерине (концентрация 1 г/л), который выводился на температуру 215°C и выдерживался в течение 12 ч. После удаления титановой маски проводился постобменный отжиг при температуре 320°C в течение 67 ч. Затем образец помещался в расплав LiNO<sub>3</sub>-KNO<sub>3</sub>-NaNO<sub>3</sub> при 300°C, где выдерживался в течение 47 ч.

На рис. 3 показано распределение интенсивности излучения в сформированном одномодовом заглубленном канальном волноводе. Видно, что профиль моды близок к круговому профилю волоконного световода, что, очевидно, приведет к существенному снижению оптических потерь на стыковке.

Авторы благодарят специалистов фирмы Pirelli Cavi (Милан, Италия) за помощь в исследовании канальных волноводов.

### Список литературы

- [1] Jackel J.L., Rice C.E., Veselka J.J. // Appl. Phys. Lett. 1982. V. 41. P. 607-608.
- [2] Suchoski P.G., Findakly T.K., Leonberger F.J. // Jpt. Lett. 1988. V. 13. P. 1050-1052.
- [3] Keys R.W., Loni A., De La Rue R.M. // Electr. Lett. 1990. V. 26. P. 625-626.
- [4] Ганьшин В.А., Коркишко Ю.Н., Петрова В.З. // ЖТФ. 1988. Т. 58. В. 6. С. 1168-1170.
- [5] Ганьшин В.А., Коркишко Ю.Н. // ЖТФ. 1990. Т. 60. В. 9. С. 153-156.
- [6] Jackel J.L., Johnson J.J. // Electr. Lett. 1991. V. 27. N 15. P. 1360-1361.
- [7] Olivares J., Cabrera J.M. // Appl. Phys. Lett. 1993. V. 62. N 20. P. 2468-2470.
- [8] White J.M., Heidrich P.F. // Appl. Opt. 1976. V. 15. N 1. P. 151-155.
- [9] Fedorov V.A., Korkishko Yu.N. // Proc. SPIE. 1994. V. 2291. P. 243-254.
- [10] Коркишко Ю.Н., Федоров В.А. // ЖТФ. 1994. Е. 64. В. 2. С. 122-136.
- [11] De Michelis M. // J. Opt. Commun. 1983. V. 4. N 1. P. 25-31.
- [12] Li M.J., De Michelis M.P., Ostrowsky D.B., Papuchon M. // J. Optics. 1987. V. 18. P. 139-143.
- [13] Ganshin V.A., Korkishko Yu.N. // Phys. status solidi (a). 1990. V. 119. N 1. P. 11-25.

Поступило в Редакцию  
23 февраля 1995 г.